

استفاده از باطله های گرانیتی در ترکیب بدنه های سرامیکی

سید امیر راستی الحسینی^۱، حمید عبدالی^۲، سعید باغشاهی^۳، اسماعیل درویشی^۱

۱- دانشگاه آزاد اسلامی، واحد الیگودرز

۲- دانشگاه صنعتی شریف، دانشکده مهندسی و علم مواد

۳- دانشگاه بین المللی امام خمینی، دانشکده فنی، قزوین

تاریخ دریافت مقاله: ۱۳۸۹/۳/۱۱ تاریخ تصویب: ۱۳۸۹/۱۰/۳

چکیده

صنایع گرانیت حجم ضایعات بالای تولید می‌کند که موجب آلودگی و تخریب محیط زیست می‌گردد. هدف از این پژوهش، بررسی و امکان سنجی استفاده از ضایعات سنگ گرانیت در صنعت سرامیک است. برای این منظور، ضایعات گرانیت از سنگ برپاها تهیه شدند. مشخصه یابی پودر ضایعاتی به منظور تعیین مشخصه‌های فیزیکی و شیمیایی توسط TGA، DTA و XRD انجام گرفت. سپس به منظور تعیین میزان مناسب قابل افزوند به ترکیبات سرامیک، از آنها در ترکیب فرمولاسیون چچ کاشی‌های پرسلانی استفاده شد. همچنین جذب آب و استحکام خمی سه نقطه‌ای نمونه‌ها مورد ارزیابی قرار گرفت. بررسی‌های ریزساختاری توسط میکروسکوپ الکترونی رویشی انجام شد. نتایج نشان داد که بدنه‌های رفموله شده دارای مشخصه‌های تکنولوژیکی مشابه کاشیهای گرانیتی رایج صنعتی هستند. میزان استفاده از ضایعات در مقیاس آزمایشگاهی به ۳۰ درصد و در مقیاس صنعتی به ۴ تا ۸ درصد وزنی رسید.

واژگان کلیدی: محیط زیست، کاشی گرانیتی، باطله، سنگ گرانیت.

مقدمه

دیواری تغییر نموده، به طور کلی این فرآورده‌ها از نوع ارتنور آهکی ساخته شدنند. به عبارت دیگر به جای Na₂O و K₂O از CaO به عنوان گدازآور استفاده گردید. این عمل به دو دلیل صورت گرفت، استفاده از CaO (و یا سنگ آهک و موارد مشابه در بدنه خام) موجب کاهش انقباض بدنه در هنگام پخت و در نتیجه پایداری ابعاد گردیده، تغییر شکل را در کاشی‌های دیواری و کف را می‌توان گروهی از فرآورده‌های سرامیک‌های ظریف به شمار آورد. بدنه کاشی‌های دیواری از نوع ارتنورها هستند. ارتنورها (Earthenwares) بدنه‌های سفید یا کرم با جذب آب حدود ۱۵-۱۲٪ هستند. در گذشته (و در بعضی موارد در حال حاضر) بدنه کاشی‌های دیواری از نوع ارتنور فلدرسپاتی بودند. بعد از بدنه کاشی

در صدھای معین انتخاب شده، عملیات آماده سازی پودر روی آنها صورت می گیرد. در کاشی های پرسلانی مواد به حدی آسیاب می شود که حدکثر ۰.۱ روی الک 63 ml باقی بماند. با انتخاب ترکیبی مناسب دستیابی به تخلخل بسیار پایین (0.1%) امکان پذیر خواهد بود. با این وجود انقباض پس از پخت آنها در حدود 7% است. میزان فشار اعمالی در کاشی های پرسلانی همیشه بسیار بالاست (بین 340 تا 380 kg/cm^2) که موجب می شود پودرها کاملاً متراکم شده، انقباض پخت تا حدی کاهش دهد. خشکایش این محصولات اغلب ساده است. مواد خشک شده دارای ویژگی های زیر می باشند:

- استحکام مکانیکی: $15-20 \text{ kg/cm}^2$

- انقباض خشکایش: $\pm 1\%$.

- بیشترین رطوبت باقیمانده: 1% .

در مرحله پخت، پارامترهای کلیدی، سیکل و دمای پخت (Firing Cycle and Temperature) هستند و باید به نحوی تنظیم شوند که فاز زجاجی با تخلخل بسیار کم حاصل گردد. بطور میانگین سیکل پخت سریع کاشی های گرانیتی با دمایی در حدود $30^\circ \pm 20^\circ$ و مدت زمانی بین 50 تا 70 دقیقه تعریف می شود و قطعات پخته شده دارای خواص زیر هستند:

- جذب آب: 0.1% تا 0.01% .

- انقباض پخت: 8% تا 6% .

- استحکام خمی: $480-530 \text{ kg/cm}^2$

- رنگ: سفید - عاجی

مشابهت زیادی میان ترکیب شیمیایی و خواص کاشی های گرانیتی با سنگ گرانیت وجود دارد [2]. سنگ گرانیت از سرد شدن مواد مذاب آتشفسان تشکیل شده است که به مرور زمان به صورت معادن سنگ گرانیتی

خلال پخت کاهش می دهد و همچنین در بدنه کاشی های دیواری موجب کاهش انبساط رطوبتی می شود [3].

می باشد. استونورها بدنه های رنگی و متراکمی هستند که از رس های غنی از گدازارها (Flux) ساخته می شوند. وجود میزان زیاد گدازار اجازه می دهد که بدنه در درجه حرارت بالا به سهولت متراکم گردد. از بدنه های پرسلانی پا به عرصه تولید گذاشتند. این استونورهای پرسلانی پا به عرصه تولید گذاشتند. این بدنه ها که بسیار سخت هستند، شامل مخلوط حاوی رس های کائولینیتی، فلدسپارها و کوارتز می باشند و در دمای $1200-1250^\circ\text{C}$ درجه سانتیگراد، بدون اعمال لعب زیتر می شوند. این بدنه ها متراکم بوده، در حضور فاز شیشه ای به صورت زجاجی درآمده، در نتیجه حاوی تخلخل باقیمانده نزدیک به صفر هستند. لذا پرسلان های سه جزیی از سیستم سه جزیی کوارتز، فلدسپار و کائولن، با یوتکنیکی که اجازه تشکیل فاز مایع (زجاجی) لازم برای رسیدن به بیشترین تراکم ممکن را فراهم سازد، تشکیل شده و حاوی فاز نهایی مولایت می باشند [1]. به دلیل ریزساختار حاصله، استونورهای پرسلانی دارای خواص مکانیکی و فیزیکی بالا و مقاومت به شوک حرارتی مناسبی هستند. عدم وجود تخلخل در این بدنه ها، باعث کاهش سطح تماس رطوبت با فاز شیشه و در نتیجه مقدار انبساط رطوبتی ناچیز می شود [8]. مراحل تولید کاشی های گرانیتی عبارتند از آماده سازی بچ، گرانوله سازی از طریق خشک کردن افسانه ای، پرسکاری، خشکایش، لعبکاری و پخت. مواد اولیه که بر مبنای فرمولاسیون بدنه انتخاب می شوند، با

خواص کمک ذوب یا گداز آور مناسب، مورد توجه پروژه های تولید بدنه های سرامیکی و کاشی ها و آجرهای سقف کاشی های کف، کاشی های پرسلانی (Porcelainized Tile) و غیره قرار گرفته اند [8]. با توجه به آنچه گفته شد، برای نخستین بار در ایران، با توجه به منابع فراوان گرانیت و بدنه آن حجم عظیم حدود سی درصدی ضایعات تولیدی (که بخشی از آن کاملاً غیرقابل اجتناب است)، طرحی ارائه و تعریف شد که هدف از آن تعیین خصوصیات فیزیکی و شیمیایی ضایعات گرانیت یک یا چند معدن گرانیت ایران، بررسی امکان استفاده از ضایعات به عنوان مواد اولیه و تعیین خصوصیات بدنه ساخته شده و مقایسه با بدنه های تجاری است. مزایای استفاده از این ضایعات عبارتند از:

- ۳- جنبه های مثبت زیست محیطی شامل افزایش زمان در اختیار داشتن منابع طبیعی غیر قابل تجدید و کاهش آلایندگی خاک و آب
 - ۲- احتمال دستیابی به خواص بهتر بدنه سرامیکی (کاشی پرسلانی)
 - ۳- حذف بخشی از فرایند تولید نظری آسیاب
 - ۴- صرفه جویی در نیروی انسانی، برق، کاهش نرخ استهلاک دستگاه به علت ریزدانه بودن ضایعات
 - ۵- کاهش قیمت بدنه تولید شده، به جهت جایگزینی فلDSPار گران قیمت با ضایعات که تقریباً قیمتی ندارد.
- هدف از انجام پژوهش حاضر، بررسی امکان استفاده از این پتانسیل بالقوه در بدنه های کاشی گرانیتی، به عنوان بخشی از مواد اولیه است. این کار در دو مقیاس آزمایشگاهی و صنعتی با هدف استفاده حداقلی از پودر ضایعاتی (بدون ایجاد تغییر در خواص) انجام و نتایج با یکدیگر مقایسه شدند.

بوجود می آید. این سنگ نسبت به سایر سنگ ها نظری مرمریت دارای استحکام مکانیکی و مقاومت فشاری بالاتری می باشد و با داشتن میزان های کوارتز، فلدسپات و نظری آن، منبع خوبی برای تامین آلیت، اورتوکلاز و آنورتیت به عنوان فلدسپات های عمدۀ فرمولاسیون بدنه های سرامیکی به شمار می آیند. سنگ های خام گرانیت دارای انواع مختلفی از نقطه نظر مقاومت فشاری، استحکام مکانیکی و نیروهای واردۀ است. وزن مخصوص آن بیش از ۲/۷ است که از گونه هایی نظری مرمریت و... بیشتر می باشد. این سنگ ها دارای مقاومت 1690 kg/cm^2 مقاومت سایشی بر اثر اصطکاک 76 kg/cm^2 و مقاومت کششی 115 kg/cm^2 می باشد. طبق آمار، حجم معاملات در حوزۀ صنایع و معادن گرانیت در جهان در طی دهۀ گذشته با رشد ۶ درصدی به بیش از ۲۰ میلیارد دلار رسیده است. از این میزان رقمی بالغ بر ۶ میلیارد دلار در بخش استخراج و تولید سنگ هزینه و مابقی صرف تجهیزات، لوازم، تکنولوژی ها و سایر بخش های مرتبط می گردد. نکته حائز اهمیت آنکه سنگ بری های گرانیت سالانه مقادیر زیادی ضایعات در طول فرایند خود تولید می کنند [۳]. به طور تقریبی یک سوم سنگ های ورودی کارخانه های سنگ بری، به ضایعات تبدیل می شود. بدیهی است تبدیل چنین حجم عظیمی از سرمایه به زیانه بدون بازگشت، علاوه بر زیانهای زیست محیطی ناشی از ورود آنها به خاک و منابع آب های زیرزمینی، لطمات بزرگ اقتصادی نیز در برخواهد داشت [4].

لذا این ایده که از بازیابی ضایعات تولید شده توسط صنعت، ماده اولیه ای جهت استفاده مجدد تهیه گردد، شاید بتواند باعث حفظ منابع غیر قابل تجدید طبیعی، سلامت و امنیت جوامع انسانی، کاهش هزینه ها و غیره شود [7]. ضایعات گرانیت به عنوان یک ماده اولیه با

روش آزمایش

انتخاب پودر باطله گرانیت

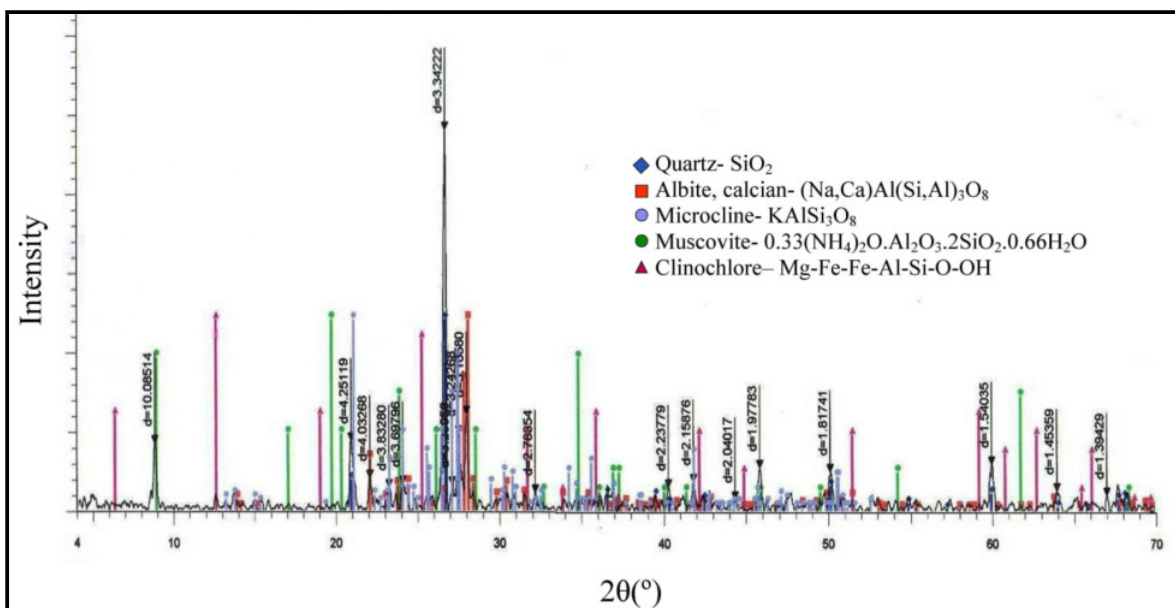
که به طور عمده شامل کوارتز و فلدسپات و به همراه مقادیر جزئی از مسکوکیت است و نیز رنگ سفید پخت آن که نشان‌دهنده وجود منابع فلدسپاتی بیشتر و اکسیدهای رنگی کمتر (Fe_2O_3 و TiO_2) است. این سنگ برای ادامه آزمایشات انتخاب شد. نتایج XRF در جدول ۲ نشان دهنده وجود کانی‌های کوارتز و فلدسپات بوده و نتیجه آزمایش (X-ray diffraction) آن مطابق شکل ۱ می‌باشد. استفاده از ضایعات سنگ گرانیت انتخاب شده در ترکیب بدنه، در دو مرحله آزمایشگاهی و صنعتی به شرح زیر انجام شد.

در ابتدا و به منظور انتخاب سنگ گرانیت مناسب برای استفاده در ترکیب بدنه کاشی گرانیتی، سنگ گرانیت (با توجه به تنوع سنگ گرانیت در ایران و تنوع آنالیز میزانی آن‌ها)، و سپس کارخانه مصرف کننده آن مشخص شد تا بتوان از باطله‌های آن کارخانه جهت طرح استفاده کرد. مطابق جدول ۱ سنگ‌های گرانیتی مختلف، شامل نهبدان، صورتی کلاردشت، قرمز نایین، سبز پیرانشهر و سیاه همدان انتخاب و ترکیب آن‌ها به کمک آنالیز شیمیایی (XRF (X-ray fluorescence) مشخص گردید.

با توجه به کانی‌های موجود در سنگ گرانیت نهبدان

جدول ۱ - آنالیز شیمیایی سنگ‌های گرانیت

L.O.I	TiO_2	MgO	CaO	K_2O	Al_2O_3	Na_2O	Fe_2O_3	SiO_2	نام اکسید نام سنگ
۱/۹۹	-	۰/۸۶	۵/۵۴	۲/۶۳	۱۶/۸۷	۳/۳۰	۴/۱۳	۶۶/۱۸	قرمز نایین
-	۰/۷۱	۱/۶۸	۱/۵۵	۵/۰۸	۱۶/۹۵	۵/۶۹	۵/۴۸	۶۲/۵۷	سبز پیرانشهر
۰/۸۳	۱/۱۵	۱۴/۴۰	۱۱/۰۲	۰/۹۵	۱۳/۰۲	۲/۲۳	۱۱/۷۲	۴۵/۲۰	سیاه همدان
۰/۴	-	۰/۲۶	۱/۴۲	۵/۱۳	۱۲/۴۸	۲/۷۵	۱/۴۳	۷۶/۱۲	نهبدان
۱/۲۱	-	۱/۲۵	۳/۹۸	۰/۱۴	۱۹/۹	۰/۱۰	۲/۳۱	۶۸/۲۹	صورتی کلاردشت



شکل ۱- الگوی XRD پودر ضایعاتی سنگ گرانیت.

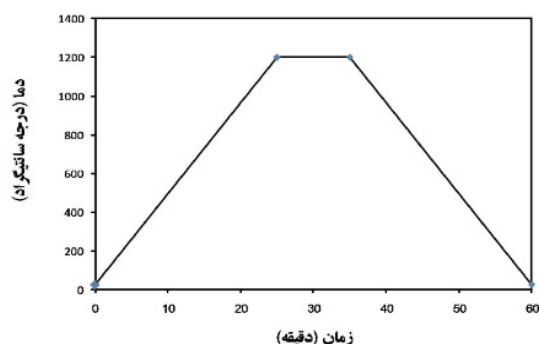
ضخامت ۰/۵ سانتی متر توسط پرس سرد تک محور با فشار 450 kg/cm^2 تهیه شد. نتایج حاصل از اعمال فشارهای مختلف ($350, 400, 450 \text{ kg/cm}^2$) نشان داد که میزان فوق، مقدار بهینه جهت متراکم نمودن و ساخت نمونه های خام می باشد. در مرحله بعد نمونه ها در خشک کن با دمای 110°C قرار گرفته، سپس در کوره با دمای 1200°C پخته شد. از آنجاکه این دسته از محصولات سرامیکی، از جمله بدنه های پخت سریع به حساب می آیند، مجموعه مراحل گرمایش از دمای محیط به دمای بیشینه، ماندن در دمای بیشینه و سرمایش تا دمای محیط، به مدت ۶۰ دقیقه و مطابق شکل ۲ صورت پذیرفت. زمان رسیدن از دمای محیط به 1200°C (گرمایش) و بر عکس (سرمایش)، هر کدام ۲۵ دقیقه به طول انجامید. در نتیجه زمان باقی ماندن در دمای 1200°C ، ۱۰ دقیقه بود. پس از آن، استحکام خمی سه نقطه ای نمونه های خام و پخته شده، جذب آب، انقباض بعد از خشک شدن و پخت و آنالیز حرارتی (PL-LAB STA, Germany) نمونه ها

جدول ۲- آنالیز XRF سنگ گرانیت نهندان

درصد	اکسید	درصد	اکسید
۰/۲۶	MgO	۲/۷۵	Na ₂ O
۵/۱۳	K ₂ O	۱۲/۴۸	Al ₂ O ₃
۱/۴۲	CaO	۷۶/۱۲	SiO ₂
۱/۲۳	Fe ₂ O ₃	۰/۱۲	SO ₃

مرحله آزمون های آزمایشگاهی

پودر ضایعاتی سنگ گرانیت با آب مخلوط شده، سپس از الک $100 \mu\text{m}$ عبور داده شد. گل الک شده در دمای 110°C خشک و سپس کلوخه ها بوسیله هاون خرد شد. فرمولاسیونهای مختلفی از مخلوط کردن ضایعات گرانیت و رس های ۱ و ۲ و فلدسپار آماده شد (جدول ۳). بر این اساس سه سری نمونه شامل $20, 30$ و 40% رس (شامل میزان برابری از دو نوع رس) تهیه شد. در هر سری، میزان فلدسپار در ترکیب، با پودر ضایعات گرانیت جایگزین شد. نمونه هایی با طول $7/1, 2/3$ و $1/7$ عرض



شکل ۲- دیاگرام سیکل پخت نمونه ها

آزمایش شد. ریزساختار نمونه بهینه توسط میکروسکوپ الکترونی روشنی (Cambridge S360) بررسی شد.

جدول ۳- ترکیب شیمیایی نمونه ها

ترکیب شماره	رس ۱	رس ۲	فلدسپار	ضایعات گرانیت
۱	۲۰	۲۰	۰	۶۰
۲	۲۰	۲۰	۱۰	۵۰
۳	۲۰	۲۰	۲۰	۴۰
۴	۲۰	۲۰	۲۰	۳۰
۵	۲۰	۲۰	۴۰	۲۰
۶	۲۰	۲۰	۵۰	۱۰
۷	۱۵	۱۵	۰	۷۰
۸	۱۵	۱۵	۱۰	۶۰
۹	۱۵	۱۵	۱۵	۵۵
۱۰	۱۵	۱۵	۲۰	۵۰
۱۱	۱۵	۱۵	۲۵	۴۵
۱۲	۱۵	۱۵	۳۰	۴۰
۱۳	۱۵	۱۵	۳۵	۳۵
۱۴	۱۵	۱۵	۴۰	۳۰
۱۵	۱۵	۱۵	۴۵	۲۵
۱۶	۱۵	۱۵	۵۰	۲۰
۱۷	۱۵	۱۵	۶۰	۱۰
۱۸	۱۰	۱۰	۰	۸۰
۱۹	۱۰	۱۰	۲۰	۶۰
۲۰	۱۰	۱۰	۴۰	۴۰
۲۱	۱۰	۱۰	۶۰	۲۰
۲۲	۱۰	۱۰	۷۰	۱۰

مرحله آزمون های صنعتی

پس از تهیه نمونه های آزمایشگاهی، امکان استفاده از ضایعات سنگ گرانیت در یک کارخانه تولید کاشی گرانیتی مورد بررسی قرار گرفت. به این منظور دو بدنه معمول و سفید انتخاب و چهار فرمول مختلف، مطابق جدول ۴ تهیه شد.

جدول ۴- ترکیب شیمیایی نمونه های ساخته شده در کارخانه

نام نمونه	نمونه کد
بدنه معمولی	N
بدنه معمولی + GR (%) (ضایعات گرانیت)	NGR4
بدنه معمولی + GR (%) (ضایعات گرانیت)	NGR8
بدنه سفید	W
بدنه سفید + GR (%) (ضایعات گرانیت)	WGR4
بدنه سفید + GR (%) (ضایعات گرانیت)	WGR8

به این منظور عملیات آسیاب تربه مدت حداقل ۴۰ دقیقه انجام گرفت تا پس از عبور دادن دوغاب از الک مش $63 \mu\text{m}$ مانده روی الک کمتر از ۱٪ باشد. سپس گرانوله سازی انجام و گرانوله ها از الک مش $230 \mu\text{m}$

فلدسپات) و مجموع تقریباً یکسانی از اکسیدهای قلیایی و قلیایی خاکی (۹/۵۶٪ در ضایعات و ۱۰/۳۵٪ در فلدسپات) می باشند.

جدول ۵- ترکیب شیمیایی مواد استفاده شده
(نتایج تست XRF)

ضایعات گرانیت	فلدسپات	رس		ماده در صد
۷۶/۱۲	۷۳/۹	۶۵	۶۰/۵	SiO₂
۱۲/۴۸	۱۴/۳۶	۲۵	۲۵	Al₂O₃
۱/۴۲	۰/۷۹	۰/۵	۱/۰۵	CaO
۲/۷۵	۴/۰۶	۰/۴	۰/۳	Na₂O
۵/۱۳	۵/۵	۰/۶	۰/۵	K₂O
۰/۲۶	-	-	۰/۵۲	MgO
۱/۲۳	۰/۱۶	۱/۷	۰/۳۵	Fe₂O₃
۰/۱۲	-	-	-	SO₃
-	-	۱/۶	۰/۰۴	TiO₂
۰/۴	۱/۱	۸/۱	۱۰/۵	LOI

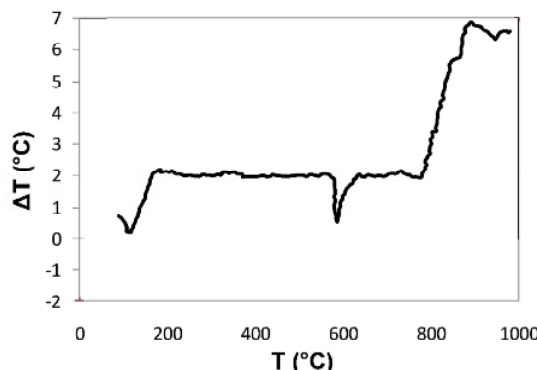
همچنین باید توجه داشت که در ترکیب پودر سنگ گرانیت پس از برش، میزان جزئی از موادی که در حین فرآوری و برش آن (نظیر ابزار برش، روغنکاری و ...) مورد استفاده قرار میگردند، وجود دارد. شکل ۳ توزیع اندازه ذرات ضایعات گرانیت را نشان می دهد. ملاحظه می شود که این توزیع دارای گستره بزرگی است، با اینحال کلیه ذرات دارای اندازه کمتر از ۱۰۰ μm می باشند. همچنین سطح ویژه پودر ضایعاتی گرانیت به روش BET، به میزان $9/۹۶ \text{ m}^2/\text{g}$ ارزیابی شد.

عبور داده شد. نمونه ها به کمک پرس تک محور، تحت فشار 450 kg/cm^2 متراکم شده، عملیات پخت در کورهٔ صنعتی (در دمای 1200°C) انجام گرفت. آزمایش جذب آب، طبق استاندارد ISO1054-3 صورت گرفت. بهترین فرمولاسیون با درنظر گرفتن این موارد انتخاب شد: (الف) جذب آب مطابق استاندارد (کمتر از ۰/۵٪)؛ (ب) بیشترین میزان پودر سنگ گرانیت مورد استفاده؛ (ج) رنگ مناسب برای کاشی های ساخته شده به روش صنعتی. علاوه بر آزمون جذب آب، دانستیه نمونه های خام و پخته شده به روش ارشمیدس ارزیابی شد. آنالیزهای توزیع اندازه ذرات و TG و DTA روی پودر صورت گرفت. آزمون استحکام خمشی سه نقطه ای و اندازه گیری های تغییرات وزنی و ابعادی در حین خشک شدن و زیترینگ انجام شد.

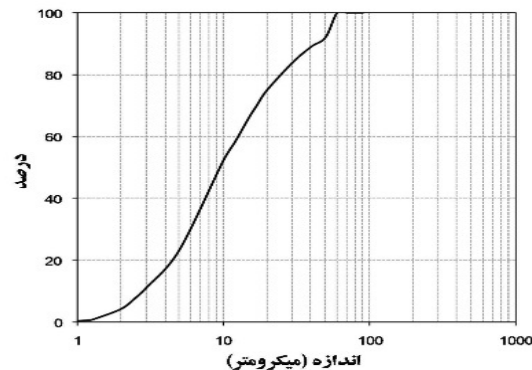
نتایج مرحله آزمایشگاهی

مواد اولیه ای که در این پژوهش مورد استفاده قرار گرفتند، شامل دو نوع رس، فلدسپار و پودر ضایعاتی سنگ گرانیت نهبهنان بودند. ترکیب شیمیایی مواد استفاده شده در جدول ۵ آمده است.

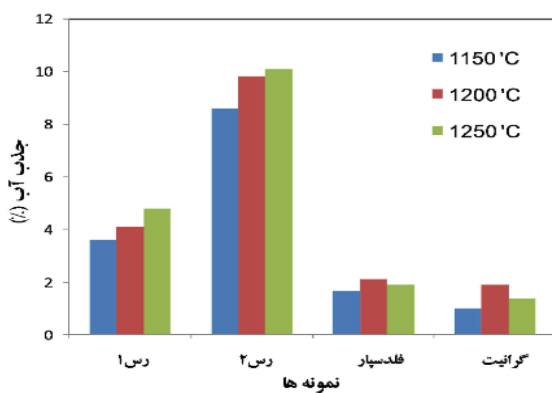
مطابق تحلیل های صورت گرفته روی پودر سنگ گرانیت ضایعاتی، کلیه های عمده موجود در ضایعات گرانیت عبارتند از کوارتز (۲۷/۲٪ وزنی)، فلدسپات پاتاسیک (۲۵٪ وزنی)، فلدسپات های سدیک و کلسیک (مجموعاً ۳۷/۱٪ وزنی) مسکویت (۱۷/۱٪ وزنی) و کلریت یا سیلیکات مینیزیم (۲/۶٪ وزنی) مقایسه میان ترکیب شیمیایی ضایعات گرانیت و فلدسپات استفاده شده نشان می دهد که هر دو دارای میزان بالای SiO_2 (۷۶/۱۲٪ در ضایعات و ۷۳/۹٪ در فلدسپات)، مقدار مشابهی از Al_2O_3 (۱۲/۴۸٪ در ضایعات و ۱۴/۳۶٪ در



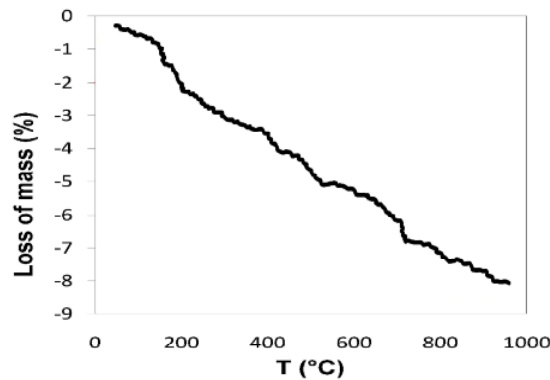
شکل ۴- آنالیز DTA مربوط به پودر سنگ گرانیت



شکل ۳- توزیع اندازه ذرات ضایعات گرانیت



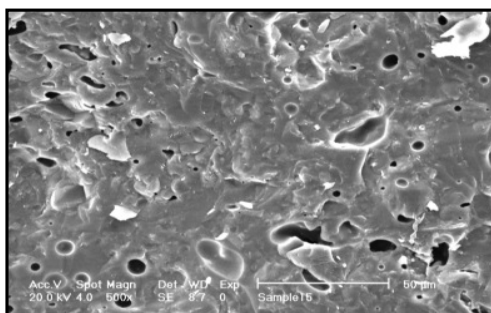
شکل ۶ - جذب آب نمونه های زیتر شده در دماهای مختلف



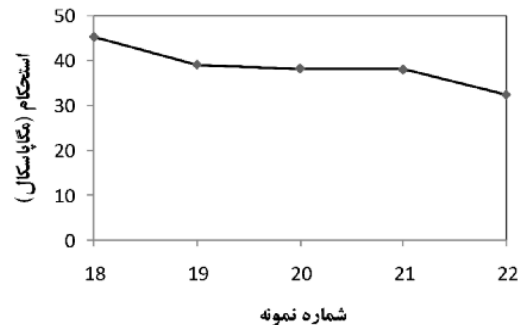
شکل ۵- آنالیز TG مربوط به پودر سنگ گرانیت

استحکام نمونه ها را، که فرمولاسیون آنها در جدول ۳ آورده شده، نشان می دهد. ملاحظه می گردد که در یک محلوده معین از درصد وزنی رس و همچنین ضایعات گرانیت، جذب آب به مقدار حداقل خود رسیده است. افزایش درصد ضایعات گرانیت، از این میزان خاص، باعث افزایش جذب آب می گردد. شکل ۱۶، ریزساختار یک نمونه تهیه شده در آزمایشگاه را که به وسیله میکروسکوپ الکترونی روبشی تهیه شده است نشان می دهد. ریزساختار بدست آمده همانند ریزساختارهای معمول کاشی های گرانیتی، از همگنی قابل ملاحظه ای برخوردار است.

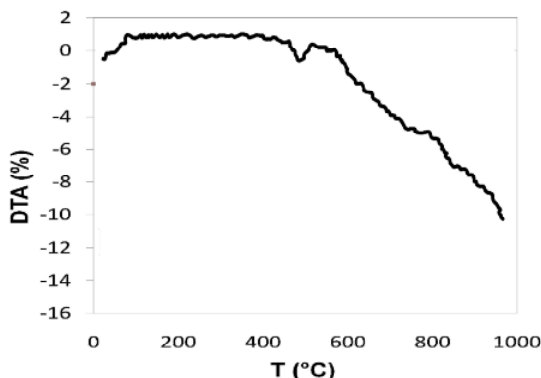
نتایج آزمون کالریمتری، شامل آنالیزهای DTA و TG به ترتیب در شکل های ۴ و ۵ آمده است. در شکل ۴ پیک گرمادهی که می تواند در اثر تغییر حالت کوارتز α به باشد، در حوالی دمای $570-580^{\circ}\text{C}$ به خوبی قابل ملاحظه است. همچنین در آنالیز TG، گراف مربوطه کاهش وزنی در حدود ۸٪ وزنی را نشان می دهد. قابلیت جذب آب قرص هایی که در سه درجه حرارت $1150-1200-1250^{\circ}\text{C}$ به مدت ۱ ساعت زیتر شدند، در شکل ۶ نشان داده شده است. این میزان برای دو نوع رس استفاده شده در حدود ۱۰ تا ۱۵ میزان جذب آب، دانسیته و شکل های ۷ تا ۱۵ میزان جذب آب، دانسیته و



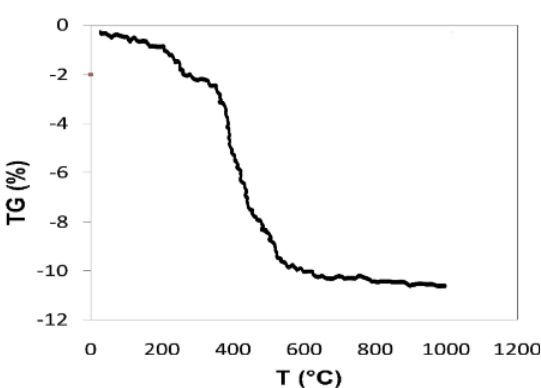
شکل ۱۶- ریزساختار نمونه بهینه ساخته شده در آزمایشگاه



شکل ۱۵- استحکام نمونه حاوی ۲۰٪ رس



شکل ۱۷- کاشی ساخته شده در آزمایشگاه

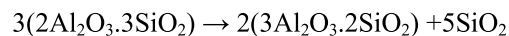


تصویر ۱۸- TG کاشی ساخته شده در آزمایشگاه

چنانکه در شکل ۱۹ مشاهده می شود، استفاده از ۴ درصد ضایعات در بدنه معمولی بدون اشکال است و افزایش آن بهمقدار ۸ درصد رنگ را کمی تیره می کند. اما در بدنه سفید تغییر رنگ کاملاً محسوس است و برای رفع آن استفاده از سفید کننده های سرامیکی لازم است.

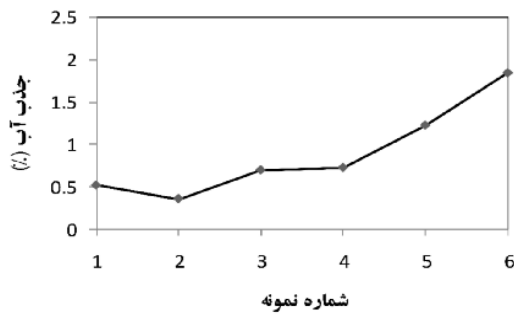
شکل های ۱۷ و ۱۸، منحنی های TG و DTA نمونه بهینه ساخته شده در آزمایشگاه را نشان می دهد. از آنجا که رس ها به خاطر سطح ویژه بالای خود، میزان آب زیادی به خود می گیرند، لازم است این آب تا پیش از دمای ۲۰۰ °C حذف و خارج شود. اکسیداسیون ترکیبات آلی تا دمای ۷۰۰ °C رخ می دهد. در ۵۷۳ °C، تبدیل حالت کوارتز به شکل بتا انجام می شود. بین دماهای ۴۵۰ °C و ۶۰۰ °C، کائولینیت پیوندهای شیمیایی خود را از دست می دهد و به متاکائولن تغییر حالت می دهد. افت وزنی اندک در حوالی ۶۰۰ °C تا ۷۰۰ °C می تواند مربوط به مینرال های ایلیت و مسکوویت باشد. در حوالی ۹۰۰ °C تا ۱۰۰۰ °C شبکه به طور کامل متلاشی می گردد، سیلیس حذف شده، اسپینل تشکیل می گردد:

$$2(\text{Al}_2\text{O}_3.\text{SiO}_2) \rightarrow 2\text{Al}_2\text{O}_3.3\text{SiO}_2 + \text{SiO}_2$$
 اسپینل نیز در حوالی ۱۱۵۰ °C به مولایت تغییر حالت می دهد:

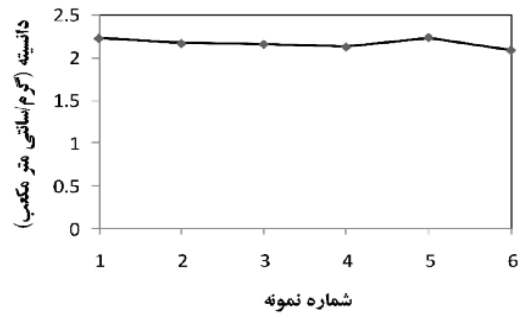


نتایج مرحله صنعتی

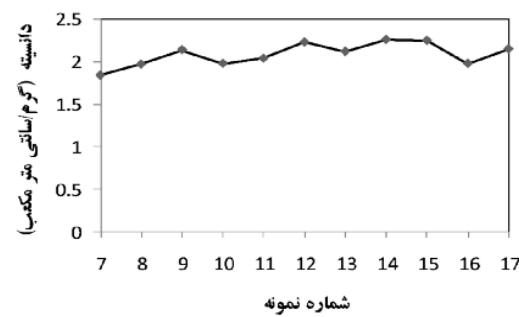
جدول ۶ نتایج مجموعه آزمایش های انجام شده را روی نمونه های ساخته شده در کارخانه نشان می دهد.



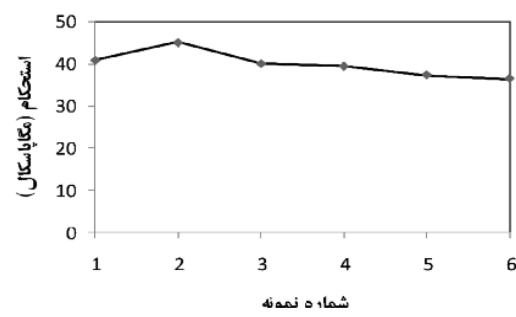
شکل ۸- جذب آب نمونه حاوی ۴۰٪ رس



شکل ۷- دنسیته نمونه حاوی ۴۰٪ رس



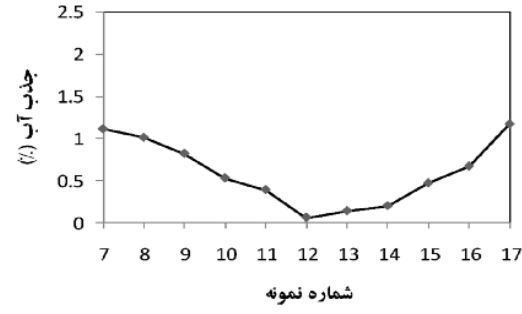
شکل ۱۰- دنسیته نمونه حاوی ۴۰٪ رس



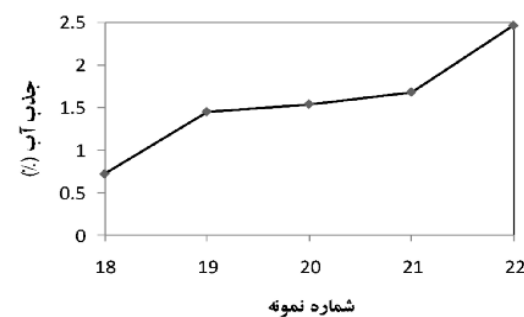
شکل ۹- استحکام نمونه حاوی ۴۰٪ رس



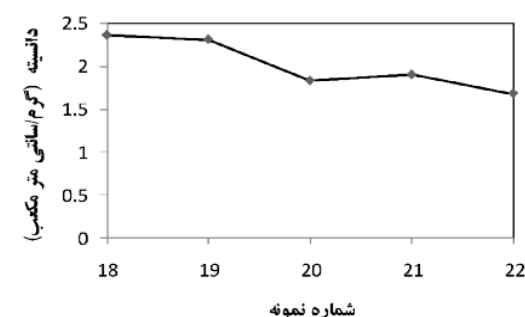
شکل ۱۲- استحکام نمونه حاوی ۴۰٪ رس



شکل ۱۱- جذب آب نمونه حاوی ۴۰٪ رس



شکل ۱۴- جذب آب نمونه حاوی ۲۰٪ رس



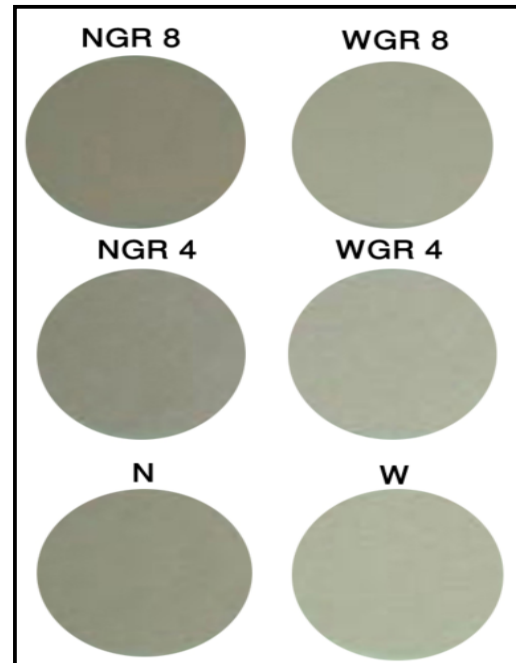
شکل ۱۳- دنسیته نمونه حاوی ۲۰٪ رس

استفاده از باطله های گرانیتی در ترکیب بدنه های سرامیکی

در صد از ضایعات سنگ گرانیت را در ترکیب مواد اولیه کاشی های گرانیتی، مورد استفاده قرار داد. به عنوان مهم ترین نتیجه، می توان گفت که امکان استفاده از ضایعات در ترکیب وجود دارد، هر چند این کار باید با ملاحظاتی انجام گردد که علت آن تغییر رنگ ایجاد شده در بدنه است. در نمونه های آزمایشگاهی (نمونه های شماره ۱۱ تا ۱۵ و ۱۸) خواص پس از افروختن ضایعات گرانیتی همچنان در محدوده استاندارد باقی ماندند. به این ترتیب نشان داده شد که در یک محدوده معین از فرمولاسیون اولیه (۱۱ تا ۱۵) امکان به کاربردن ضایعات در ترکیب بدنه وجود دارد. در نمونه های صنعتی نیز نشان داده شد که در بدنه های معمولی تا ۸ درصد و در بدنه های حساس تر سفید تا ۴ درصد می توان از ضایعات گرانیت به عنوان بخشی از مواد اولیه استفاده نمود. پیشنهاد می شود، این ایده روی نمونه هایی با حساسیت کمتر (چه رنگ محصول و چه خواص نهایی آن) مورد آزمایش قرار گیرد. به نظر می رسد بتوان از میزان بیشتری از ضایعات سنگ گرانیت در کاشی های دیواری و کف در کاشی های گرانیتی، که دارای حساسیت کمتری نسبت به انواع گرانیتی هستند، استفاده کرد.

جدول ۶ - نتایج به دست آمده مربوط به نمونه های ساخته شده در کارخانه بهسرا

WGR8	WGR4	W	NGR8	NGR4	N	کد نمونه مشخصه
۳/۸۳	۳/۸۲	۳/۸۵	۳/۸۹	۳/۲۸	۴/۱۱	پرت حرارتی
۳/۸۴	۳/۸۷	۳/۹۳	۳/۹۳	۳/۹۸	۴/۲	ابعاد خام
۷/۶۷	۷/۶۷	۷/۱۷	۸/۱۶	۸/۱۶	۸/۱۴	انقباض
		عادی	کمی تیره	عادی		رنگ



شکل ۱۹ - نمونه های ساخته شده در کارخانه بهسرا

از آقای مهندس مهرداد همتی مدیر تولید شرکت کاشی گرانیت بهسرا کاشان بدليل مساعدت و زحمات بیدريغ ايشان قدردانی می شود.

نتیجه گيري

در اين پژوهش امكان بهينه سازی فرمولاسیون کاشی گرانیتی (به دو صورت آزمایشگاهی و در کارخانه) مورد بررسی قرار گرفت. نشان داده شد که در آزمایشگاه و کارخانه، می توان به ترتیب مقادیر ۳۰ و ۴

منابع

- 1-Acchar, W., Vieira, F.A. & Hotza D., (2006), Effect of marble and granit sludge in clay materials, Mater. Sci. Eng. A, Vol. 419:306-309.
- 2-Delgado, J., Vazquez, A., Juncosa, R. & Barrientos, V., (2006), Geochemical assessment of the contaminant potential of granite fines produced during sawing and related processes associated to the dimension stone industry, J. Geochem. Explor., Vol. 88: 24– 27.
- 3-Hernandez-Crespo, M.S. & Rincon, J.M (2001), New porcelainized stoneware materials obtained by recycling of MSW incinerator fly ashes and granite sawing residues, Ceram. Int., Vol. 27: 713–720.
- 4-Matteucci, F., Dondi, M. & Guarini, G., (2002), Effect of soda-lime glass on sintering and technological properties of porcelain stoneware tiles, Ceram. Int., Vol. 28: 873–880.
- 5-Menezes, R.R., Ferreira, H.S., Neves, G.A., Lira, H.L. & Ferreira H.C., (2005), Use of granite sawing wastes in the production of ceramic bricks and tiles, J. Eur. Ceram. Soc., Vol. 25: 1149–1158.
- 6-Monteiro, S.N., Pecanha, L.A. & Vieira, C.M.F., (2004), Reformulation of roofing tiles body with addition of granite waste from sawing operations, J. Eur. Ceram. Soc. Vol. 24: 2349–2356.
- 7-Torres, P., Fernandes, H.R., Agathopoulos, S., Tulyaganov, D.U. & Ferreira, J.M.F., (2004), Incorporation of granite cutting sludge in industrial porcelain tile formulations, J. Eur. Ceram. Soc., Vol. 24: 3177–3185.
- 8-Vieira, C.M.F., Soares, T.M., Sánchez & R., (2004), Monteiro, S.N., Incorporation of granite waste in red ceramics, Mater. Sci. Eng. A, Vol. 373: 115–121.